

Prinzipien der komplexen FM-Synthese

Matthias Kemmer



Gliederung

- Parallelschaltung
- Kaskadenschaltung
- Feedbackschaltung
- Native Instruments' FM8

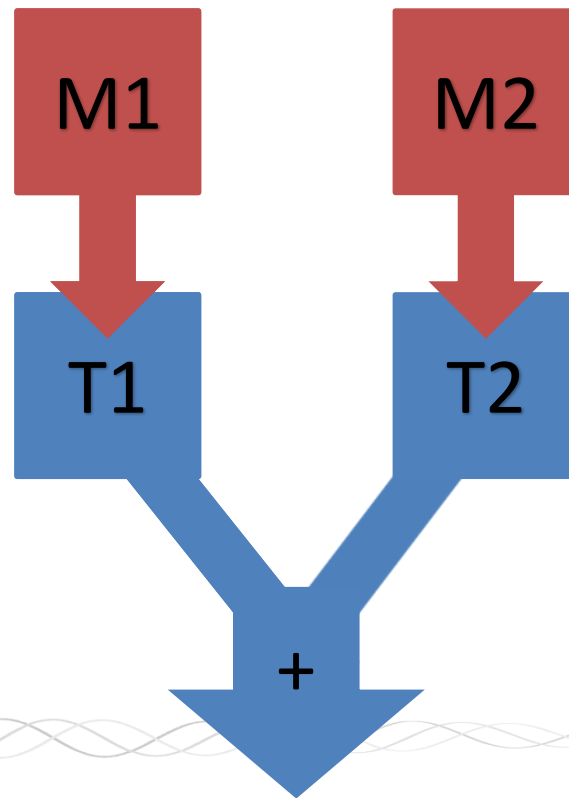
Parallelschaltung

2 Träger,
jeweils eigener Modulator

Pro Träger-Modulator-Paar gilt:

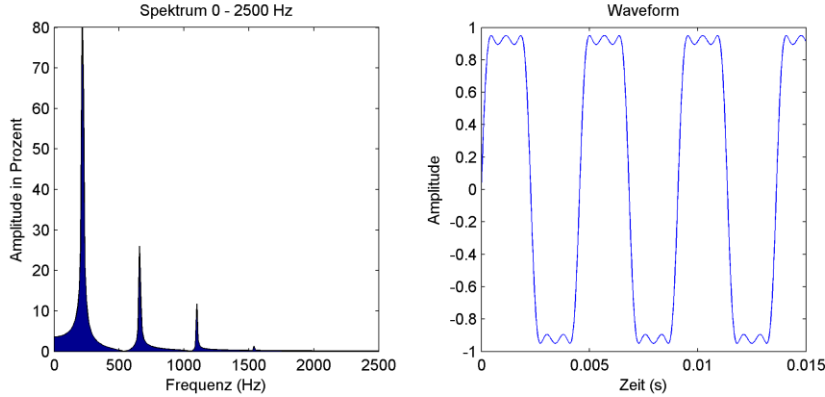
$$\sin(\omega_c t + I \sin(\omega_m t))$$

$$= \sum_{n=-\infty}^{\infty} J_n(I) \sin(\omega_c t + n\omega_m t)$$

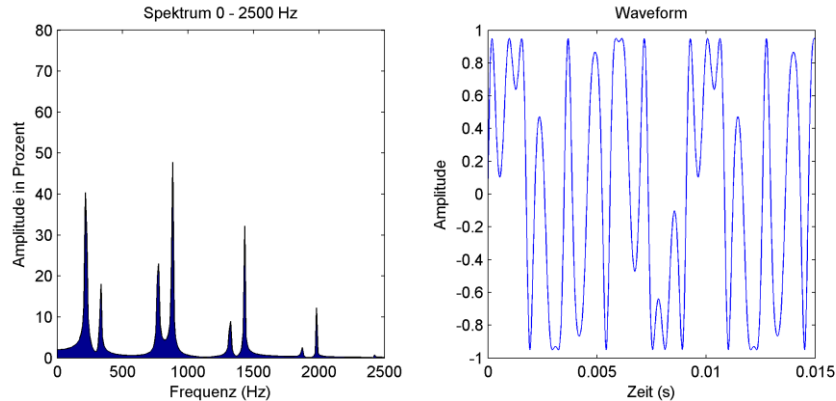


Einzel- vs. Parallelschaltung

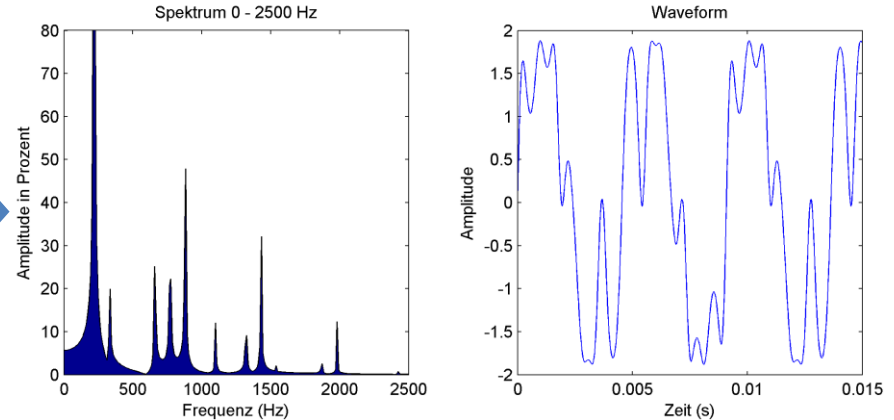
Trägerfreq. = 220; Modulatorfreq. = 440; Modindex = 1; Samplerate = 44100



Trägerfreq. = 330; Modulatorfreq. = 550; Modindex = 2; Samplerate = 44100



Parallele Träger (220,330) mit je eigenem Modulator (1-440,2-550)



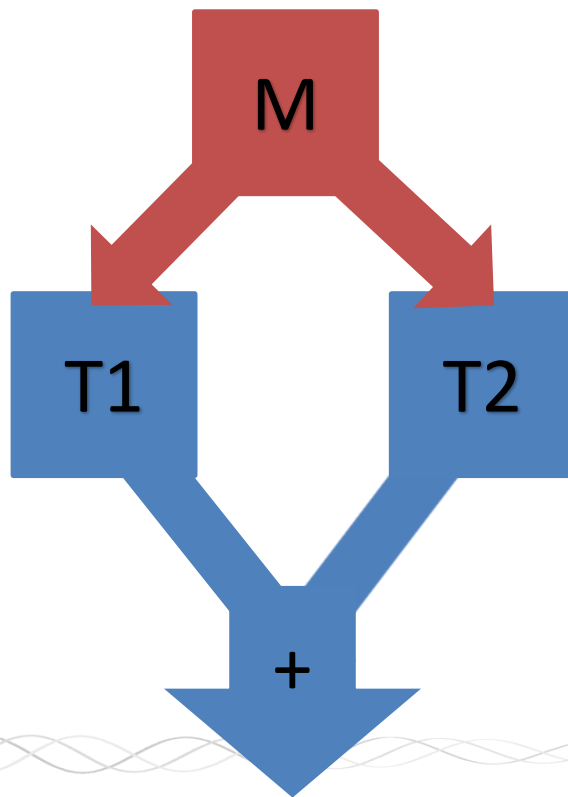
Parallelschaltung

2 Träger, **selber** Modulator

Pro Träger-Modulator-Paar gilt:

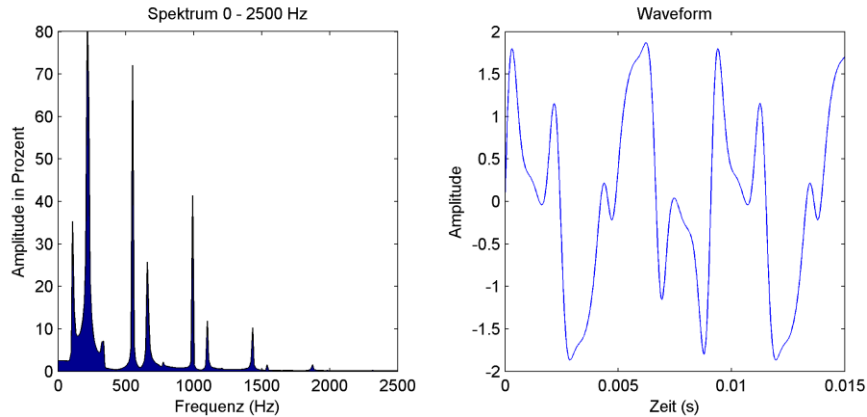
$$\sin(w_c t + I \sin(w_m t))$$

$$= \sum_{n=-\infty}^{\infty} J_n(I) \sin(w_c t + n w_m t)$$

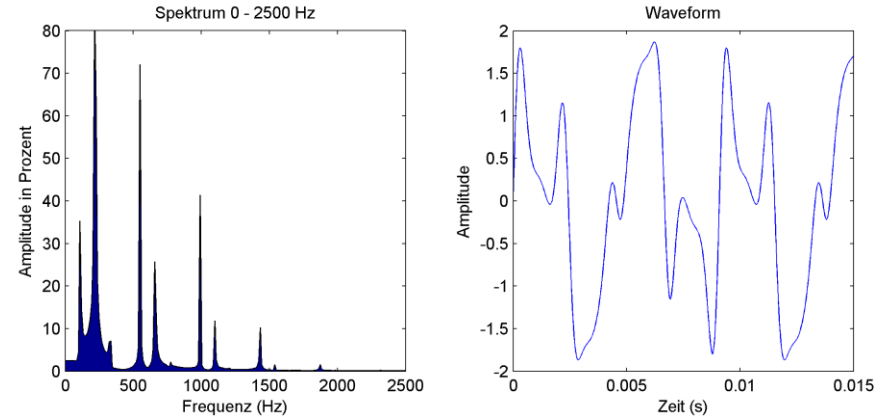


2 Träger mit 2 Modulatoren mit gleichen Einstellungen vs. 2 Träger mit demselben Modulator

Parallele Träger (220,550) mit je eigenem Modulator (1-440,1-440)



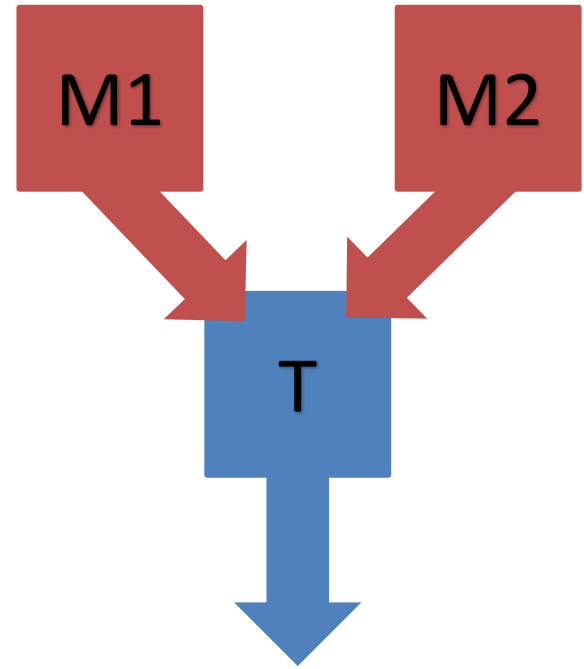
Parallele Träger (220,550) mit gemeinsamem Modulator (1-440)



Parallelschaltung

1 Träger,
2 unabhängige Modulatoren

$$\begin{aligned} f_{FMparallel}(t) &= \sin(w_c t + I_1 \sin(w_{m1} t) + I_2 \sin(w_{m2} t)) \\ &= \sum_{i=-\infty}^{\infty} \sum_{k=-\infty}^{\infty} J_i(I_1) J_k(I_2) \sin(w_c t + i w_{m1} t + k w_{m2} t) \end{aligned}$$



Additionsterme der Seitenbänder bei 2 parallelen Modulatoren

$$\sin(w_c t + I_1 \sin(w_{m1} t) + I_2 \sin(w_{m2} t))$$

$$= J_0(I_1)J_0(I_2) \sin(w_c t)$$

$$+ J_0(I_1)J_1(I_2) \sin(w_c t + w_{m2} t) - J_0(I_1)J_1(I_2) \sin(w_c t - w_{m2} t)$$

$$+ J_0(I_1)J_2(I_2) \sin(w_c t + 2w_{m2} t) + J_0(I_1)J_1(I_2) \sin(w_c t - 2w_{m2} t)$$

$$+ J_1(I_1)J_0(I_2) \sin(w_c t + w_{m1} t) - J_1(I_1)J_0(I_2) \sin(w_c t - w_{m1} t)$$

$$+ J_1(I_1)J_1(I_2) \sin(w_c t + w_{m1} t + w_{m2} t) - J_1(I_1)J_1(I_2) \sin(w_c t + w_{m1} t - w_{m2} t)$$

$$- J_1(I_1)J_1(I_2) \sin(w_c t - w_{m1} t + w_{m2} t) + J_1(I_1)J_1(I_2) \sin(w_c t - w_{m1} t - w_{m2} t)$$

$$+ J_1(I_1)J_2(I_2) \sin(w_c t + w_{m1} t + 2w_{m2} t) + J_1(I_1)J_2(I_2) \sin(w_c t + w_{m1} t - 2w_{m2} t)$$

$$- J_1(I_1)J_2(I_2) \sin(w_c t - w_{m1} t + 2w_{m2} t) - J_1(I_1)J_2(I_2) \sin(w_c t - w_{m1} t - 2w_{m2} t)$$

$$+ J_2(I_1)J_0(I_2) \sin(w_c t + 2w_{m1} t) + J_2(I_1)J_0(I_2) \sin(w_c t - 2w_{m1} t)$$

$$+ J_2(I_1)J_1(I_2) \sin(w_c t + 2w_{m1} t + w_{m2} t) + J_2(I_1)J_1(I_2) \sin(w_c t + 2w_{m1} t - w_{m2} t)$$

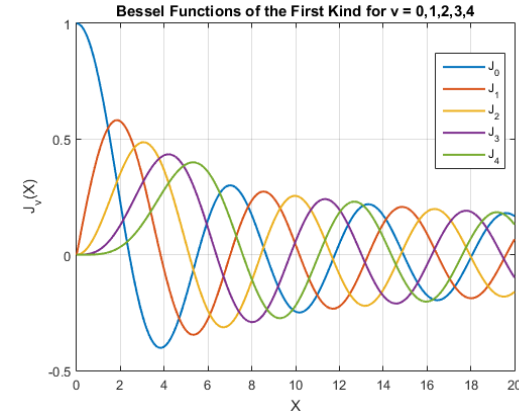
$$+ J_2(I_1)J_1(I_2) \sin(w_c t - 2w_{m1} t + w_{m2} t) - J_2(I_1)J_1(I_2) \sin(w_c t - 2w_{m1} t - w_{m2} t)$$

$$+ J_2(I_1)J_2(I_2) \sin(2w_c t + 2w_{m1} t + 2w_{m2} t) + J_2(I_1)J_2(I_2) \sin(2w_c t + 2w_{m1} t - 2w_{m2} t)$$

$$+ J_2(I_1)J_2(I_2) \sin(2w_c t - 2w_{m1} t + 2w_{m2} t) + J_2(I_1)J_2(I_2) \sin(2w_c t - 2w_{m1} t - 2w_{m2} t)$$

+ ...

$$J_{-n}(x) = (-1)^n J_n(x)$$

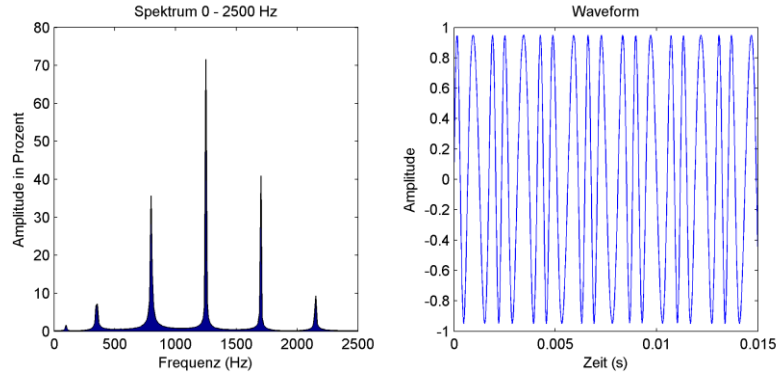


Bildquelle:

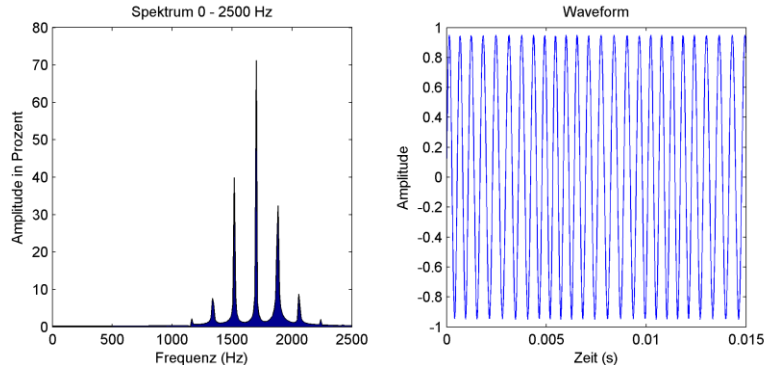
<http://de.mathworks.com/help/matlab/ref/besselj.html>

Spektrum der Parallelschaltung für 1 T, 2 M

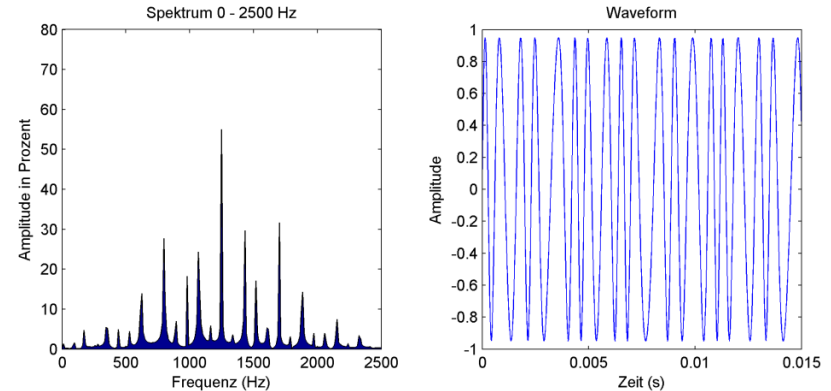
Trägerfreq. = 1250; Modulatorfreq. = 450; Modindex = 1; Samplerate = 44100



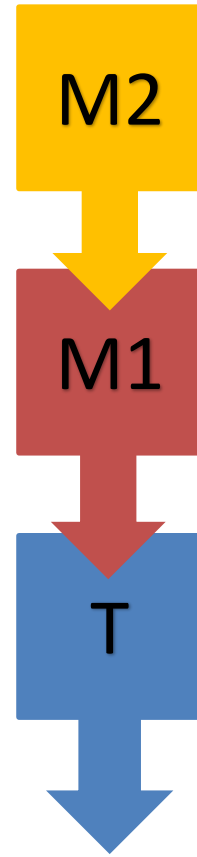
Trägerfreq. = 1700; Modulatorfreq. = 180; Modindex = 1; Samplerate = 44100



Einzelner Träger (1250) mit parallelen Modulatoren (1-450, 1-180)



Kaskadenschaltung



$$f_{FMkaskade}(t) = \sin(w_c t + I_1 \sin(w_{m1} t + I_2 \sin(w_{m2} t)))$$

$$= \sum_{n=-\infty}^{\infty} \sum_{k=-\infty}^{\infty} J_n(I_1) J_k(nI_2) \sin(w_c t + n w_{m1} t + k w_{m2} t)$$



Formel Spektrum Parallelschaltung vs. Formel Spektrum Kaskadenschaltung

Parallel:
$$\sum_{i=-\infty}^{\infty} \sum_{k=-\infty}^{\infty} J_i(I_1) J_k(I_2) \sin(w_c t + i w_{m1} t + k w_{m2} t)$$

Kaskade:
$$\sum_{n=-\infty}^{\infty} \sum_{k=-\infty}^{\infty} J_n(I_1) J_k(n I_2) \sin(w_c t + n w_{m1} t + k w_{m2} t)$$



Additionsterme der Seitenbänder bei 2 Modulatoren in Reihe

$$\sin(w_c t + I_1 \sin(w_{m1} t) + I_2 \sin(w_{m2} t))$$

$$= J_0(I_1) J_0(I_2) \sin(w_c t)$$

$$+ J_0(I_1) J_1(I_2) \sin(w_c t + w_{m2} t) - J_0(I_1) J_1(I_2) \sin(w_c t - w_{m2} t)$$

$$+ J_0(I_1) J_2(I_2) \sin(w_c t + 2w_{m2} t) + J_0(I_1) J_1(I_2) \sin(w_c t - 2w_{m2} t)$$

$$+ J_1(I_1) J_0(I_2) \sin(w_c t + w_{m1} t) - J_1(I_1) J_0(I_2) \sin(w_c t - w_{m1} t)$$

$$+ J_1(I_1) J_1(I_2) \sin(w_c t + w_{m1} t + w_{m2} t) - J_1(I_1) J_1(I_2) \sin(w_c t + w_{m1} t - w_{m2} t)$$

$$- J_1(I_1) J_1(I_2) \sin(w_c t - w_{m1} t + w_{m2} t) + J_1(I_1) J_1(I_2) \sin(w_c t - w_{m1} t - w_{m2} t)$$

$$+ J_1(I_1) J_2(I_2) \sin(w_c t + w_{m1} t + 2w_{m2} t) + J_1(I_1) J_2(I_2) \sin(w_c t + w_{m1} t - 2w_{m2} t)$$

$$- J_1(I_1) J_2(I_2) \sin(w_c t - w_{m1} t + 2w_{m2} t) - J_1(I_1) J_2(I_2) \sin(w_c t - w_{m1} t - 2w_{m2} t)$$

$$+ J_2(I_1) J_0(I_2) \sin(w_c t + 2w_{m1} t) + J_2(I_1) J_0(I_2) \sin(w_c t - 2w_{m1} t)$$

$$+ J_2(I_1) J_1(I_2) \sin(w_c t + 2w_{m1} t + w_{m2} t) + J_2(I_1) J_1(I_2) \sin(w_c t + 2w_{m1} t - w_{m2} t)$$

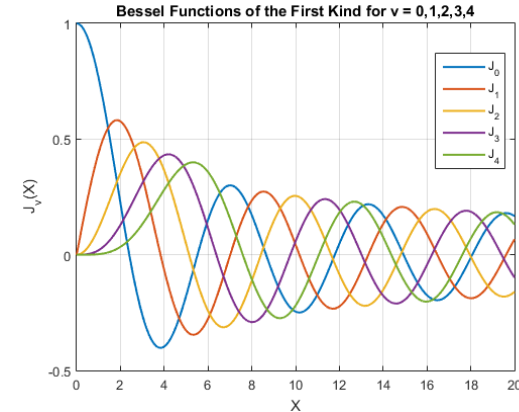
$$+ J_2(I_1) J_1(I_2) \sin(w_c t - 2w_{m1} t + w_{m2} t) - J_2(I_1) J_1(I_2) \sin(w_c t - 2w_{m1} t - w_{m2} t)$$

$$+ J_2(I_1) J_2(I_2) \sin(2w_c t + 2w_{m1} t + 2w_{m2} t) + J_2(I_1) J_2(I_2) \sin(2w_c t + 2w_{m1} t - 2w_{m2} t)$$

$$+ J_2(I_1) J_2(I_2) \sin(2w_c t - 2w_{m1} t + 2w_{m2} t) + J_2(I_1) J_2(I_2) \sin(2w_c t - 2w_{m1} t - 2w_{m2} t)$$

+ ...

$$J_{-n}(x) = (-1)^n J_n(x)$$



Bildquelle:

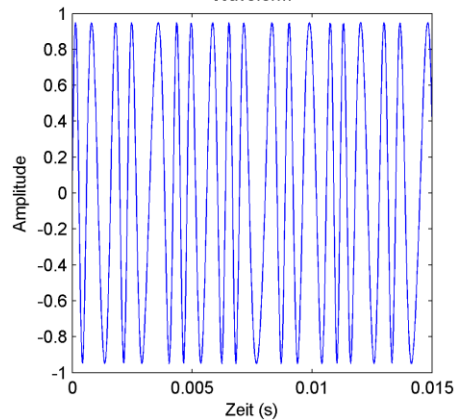
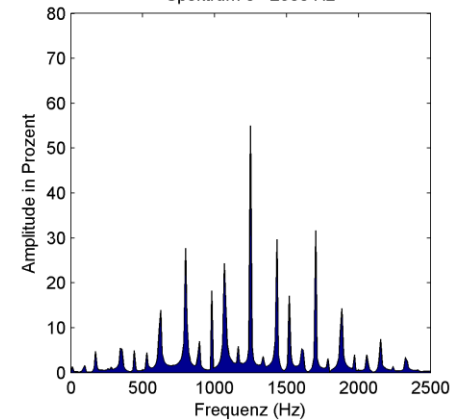
<http://de.mathworks.com/help/matlab/ref/besselj.html>

Vergleich: Parallel- und Kaskadenschaltung

Einzelner Träger (1250) mit parallelen Modulatoren (1-450,1-180)

Spektrum 0 - 2500 Hz

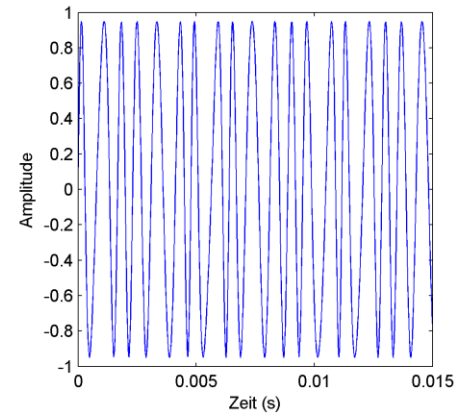
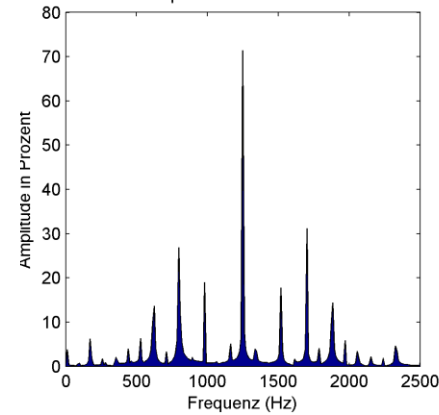
Waveform



Einzelner Träger (1250) mit zwei Modulatoren in Reihe (1-450,1-180)

Spektrum 0 - 2500 Hz

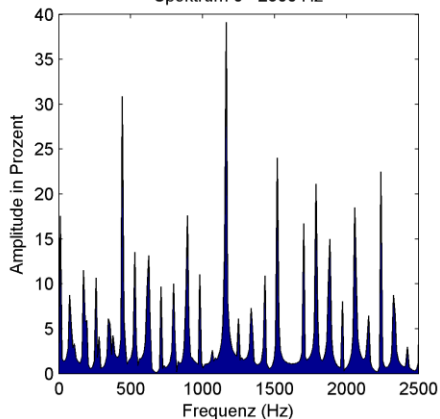
Waveform



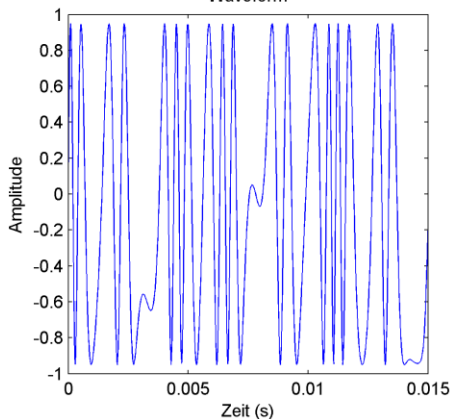
Vergleich mit Modulationsindizes 2 und 3

Einzelner Träger (1250) mit parallelen Modulatoren (2-450,3-180)

Spektrum 0 - 2500 Hz

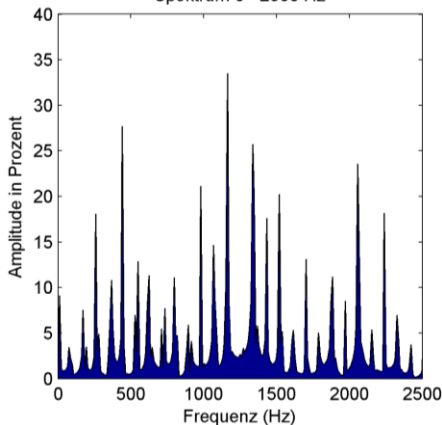


Waveform

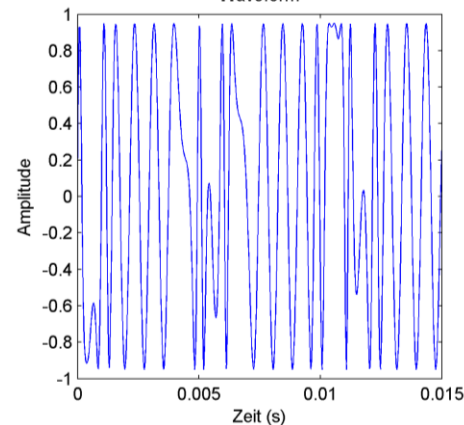


Einzelner Träger (1250) mit zwei Modulatoren in Reihe (2-450,3-180)

Spektrum 0 - 2500 Hz



Waveform

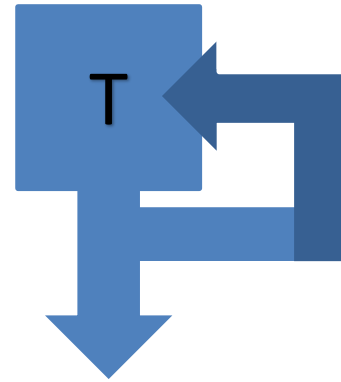


Feedbackschaltung

$$f_{FMfeedback}(t_n) = \sin(w_c t_n + I f_{FMfeedback}(t_{n-1}))$$

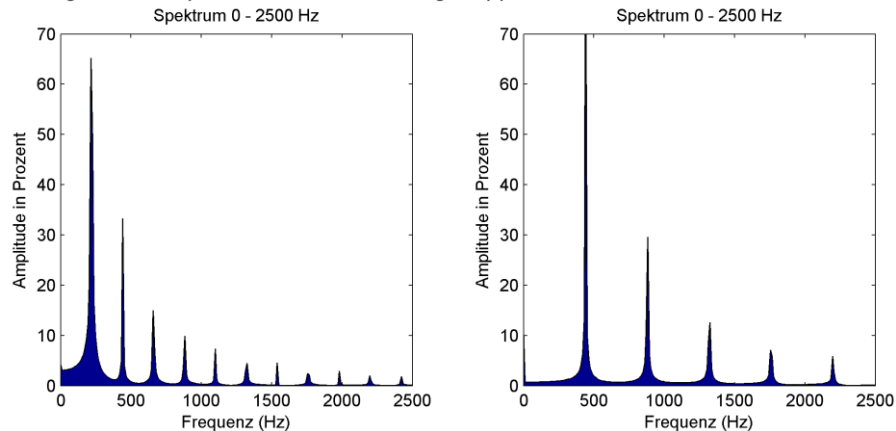
mit $f_{FMfeedback}(t_0) = 0$

$$f_{FMfeedback}(t) = \sum_{n=1}^{\infty} \frac{2}{nI} J_n(nI) \sin(nw_c t)$$

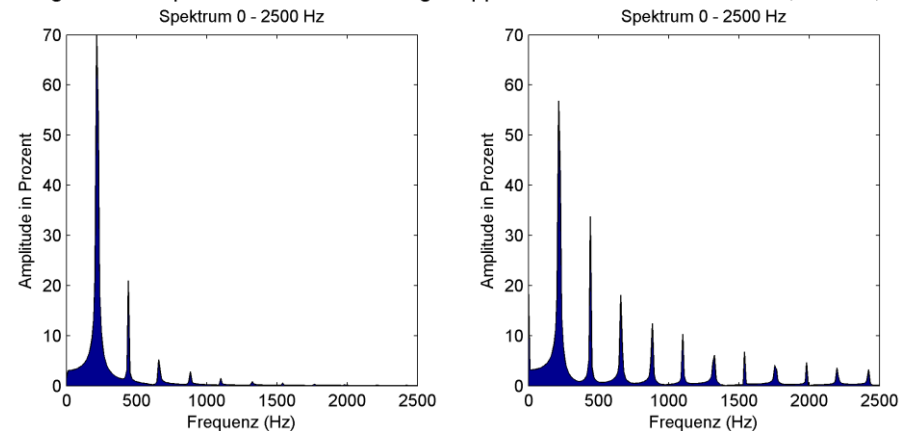


Spektrum der Feedbackschaltung

Träger mit Frequenz 220 und 440 rückgekoppelt mit Modulationsindizes 1 und 1



Träger mit Frequenz 220 und 220 rückgekoppelt mit Modulationsindizes 0,5 und 1,5



Praxisbeispiel: Modulationsmatrix FM8



Fazit

- Komplexe FM-Synthese ist extrem mächtig
- Resultierendes Spektrum schwer abschätzbar
- Durch moderne Synths wie FM8 *Trial & Error* einfach

Quellen

- [AS64] M. Abramowitz and I.A. Stegun. *Handbook of Mathematical Functions: With Formulas, Graphs, and Mathematical Tables*. Applied mathematics series. Dover Publications, 1964. ISBN 0-486-61272-4.
- [CB86] John M. Chowning and David Bristow. *FM Theory & Applications - By Musicians for Musicians*. Yamaha Music Foundation, 1986. ISBN 4-636-17482-8.
- [Cho73] John M. Chowning. The synthesis of complex audio spectra by means of frequency modulation. *Journal of the Audio Engineering Society*, pages 526–534, 1973.
- [Sch] B. Schottstaedt. Introduction to fm. <https://ccrma.stanford.edu/software/snd/snd/fm.html>.
- [Sch77] B. Schottstaedt. The simulation of natural instrument tones using frequency modulation with a complex modulating wave. *Computer Music Journal*, 1(4):pp. 46–50, 1977.

Vielen Dank für eure Aufmerksamkeit!